

CERCETĂRI ARHEOLOGICE PREVENTIVE ÎN NECROPOLA ROMANĂ DE LA APULUM, DEALUL FURCILOR-PODEI

MIHAI GLIGOR*, ANCUȚA BOBÎNĂ*, GABRIEL
BALTEȘ***, ANA FETCU****

ARCHAEOLOGICAL RESCUE EXCAVATIONS IN THE ROMAN NECROPOLIS FROM FURCILOR HILL – PODEI AT APULUM

ABSTRACT: *Archaeological rescue investigations at Apulum from the Summer of 2016, within the Roman Necropolis from Dealul-Furcilor Podei (landowner Rácz Endre) revealed a number of four brick inhumation graves. The building technique is typical for this time period and it consists of two entirely brick sarcophagi and two others made also from brick with additional wooden structures. This particular research allows us to establish a better geographical limit of the western part of the necropolis. Anthropological analysis concluded the presence of three non-adults (with ages at death varying between 1.5 to 12.5) and two adult individuals. Pathological indicators consistent with a generalised infection were established in case of M4, a non-adult individual.*

KEYWORDS: *Apulum; Dealul Furcilor-Podei Roman necropolis; inhumation graves; brick sarcophagus; anthropological analyses; human remains.*

REZUMAT: *Săpăturile arheologice efectuate în vara anului 2016 în necropola romană de pe Dealul Furcilor – Podei de la Apulum (proprietatea Rácz Endre) au scos la iveală un număr de patru morminte de inhumație construite în sarcofage de cărămidă și două morminte de inhumație cu defuncții așezați probabil în cutii din lemn. Mormintele în sarcofag din cărămidă, dezvelite și cercetate cu această ocazie, se înscriu în tipologia și problematica cunoscută a arheologiei funerare din Dacia Romană. Cercetarea din Sp. I/2016 ne permite o mai bună conturare a limitei vestice a necropolei romane. În urma analizelor antropologice efectuate pe resturile scheletale provenite din cele patru morminte, un număr de trei indivizi au fost identificați ca non-adulți cu vârste cuprinse între 1,5 și 12, 5 ani (M1, M2, M4) și doi adulți cu vârste cuprinse între 17 și 25 de ani (M3, M5). Din totalul scheletelor supuse analizei, notă discordantă o face M4, ale cărui modificări osoase s-ar putea încadra într-un registru patologic mai amplu.*

CUVINTE-CHEIE: *Apulum; necropola romană Dealul Furcilor-Podei; morminte de inhumație; sarcofag de cărămidă; analize antropologice; schelet uman.*

INTRODUCERE

În perioada 09–30 mai 2016 s-au desfășurat săpăturile preventive pentru eliberarea de sarcină arheologică¹ a terenului situat în Alba Iulia, str. G. Sand, nr. 1, în cimitirul de epocă romană aparținând

* Universitatea "1 Decembrie 1918", Alba Iulia, email: mihai.gligor@uab.ro

** cercetător independent, bobinaancuta@gmail.com

*** doctorand Universitatea "1 Decembrie 1918" Alba Iulia, email: gabi_baltes@yahoo.com

**** doctorand Universitatea "1 Decembrie 1918" Alba Iulia, email: fetcuana@gmail.com

¹ Colectiv format din Mihai Gligor (responsabil șantier), Ancuța Bobîna, Alina Bințișan (membri colectiv).

anticului Apulum, de pe Dealul Furcilor-*Podiei*. Cercetarea arheologică de pe proprietatea Rácz Endre reprezintă o continuare a săpăturilor cu caracter de salvare efectuate de către UAB în anii 2005, 2008, 2011 și 2014.

ISTORICUL CERCETĂRILOR. CONTEXTUL DESCOPERIRILOR

Necropola romană birituală de la Alba Iulia, Dealul Furcilor-*Podiei* – grație cercetărilor arheologice din ultimele decenii² – se profilează ca fiind printre cele mai mari cimitire din Dacia Romană.

Perimetrul supus cercetării este situat pe str. G. Sand, nr. 1, pe partea stângă a drumului de acces dinspre B-dul Încoronării spre Fabrica de Porțelan S.C. Apulum S.A. (str. Izvorului), în imediata apropiere a sitului arheologic „Recea-Monolit” (Pl. I).

Mormintele excavate și cercetate în acest perimetru completează imaginea de ansamblu a cimitirului de epocă romană de pe Dealul Furcilor – *Podiei*, în care au fost surprinse în urma cercetărilor ambele practici funerare, atât incinerarea, cât și inhumarea. Situația reflectă constatarea unei schimbări și totodată a unei creșteri a procentajului mormintelor de inhumare pe această latură de NV a necropolei. În cazul de față, această situație se transpune prin identificarea a patru morminte de inhumare de tip sarcofag de cărămidă și două morminte de inhumare în gropi simple, defuncții fiind probabil așezați în cutii de lemn (Pl. V). De asemenea, în urma cercetării arheologice, au mai fost identificate alte patru complexe adâncite de tip groapă, de formă aproximativ circulară, din umplutura cărora a fost recuperat material ce constă în resturi de cărămizi, fragmente de calcar, mortar, pietriș, fragmente ceramice.

Imaginea reliefată de cele șase morminte de inhumare este una ce se încadrează în tipicul mormintelor romane cercetate în această necropolă. Astfel, se observă faptul că orientarea lor este una care nu respectă o regulă strictă, patru dintre ele (M1, M2, M4, M6) fiind orientate NV-SE, iar două (M3, M5) orientate V-E. În cele mai multe cazuri, atunci când scheletul este surprins în poziție nederanjată, acesta se află așezat cu capul spre nord³.

Tendința practicării ritului funerar al inhumării capătă prioritate în societatea provincială romană încă de la jumătatea secolului II p. Chr.⁴, atunci când ușor se schimbă viziunea privind respectul față de cel decedat, spiritul având acum nevoie de un corp complet pentru a putea trece în lumea de dincolo⁵.

În articolul de față ne vom ocupa mai îndeaproape de mormintele pentru a căror edificare s-au folosit cărămizi pentru construcția unor sarcofage. Privitor la tehnica de realizare a acestora, patru dintre ele sunt construite în diferite sarcofage de cărămidă, acestea fiind întregi sau fragmentare, așezate în asize orizontale legate cu mortar sau cu pământ, unul dintre morminte având, cel mai probabil, un capac din lemn (M4). Aceste construcții funerare sugerează existența unei societăți potente și a unui grad de civilizație și cultură ridicat⁶, fapt surprins prin descoperirile funerare din necropola de la Apulum.

Dimensiunile sarcofagelor au fost adaptate pentru fiecare individ în parte. Două dintre morminte (M5/CX03, M6/CX09) sunt reprezentate de gropi simple, în care defuncții a fost așezați probabil în cutii din lemn, în pământul de umplutură al gropilor fiind descoperite urme de lemn și cuie din fier⁷.

În două dintre mormintele în sarcofag de cărămidă a fost descoperit un strat subțire de var, practică întâlnită în provinciile Galia, Britania, Germania, Pannonia în secolele II-III p. Chr.⁸. Este considerată

² Ciobanu 2003, p. 25–26; Gligor *et alii* 2005, p. 252–253, foto 4–5, fig. 2–3; Ota 2009, p. 23–47; Gligor *et alii* 2010, p. 117–139; Bolog 2017.

³ Barber *et alii* 1990, p. 1–12.

⁴ Sonoc 2006, p. 91–92.

⁵ MacDonald 1977, p. 35–39.

⁶ Hall 1996, p. 58.

⁷ Philpott 1991, p. 53.

⁸ Protase 1974, p. 135–136; Grünwald 1990, p. 26.

o practică cu scop ritualic, legată de aspecte ale creștinismului târziu, dar și o metodă cu rol aseptice⁹. Unii cercetători consideră că această practică se generalizează spre sfârșitul secolului III p. Chr.¹⁰, dovadă fiind monezile descoperite în acest tip de morminte¹¹. De asemenea, în urma unor analize științifice, este acceptată ideea precum că această practică de presărare a varului peste corpul defunctului are și un rol aseptice, acesta ajutând la descompunerea organelor moi și la deshidratarea și menținerea într-o stare cât mai bună a corpului¹².

În ceea ce privește inventarul funerar, acesta lipsește în cazul de față aproape în totalitate, fapt ce se datorează cu certitudine obiceiului practicat în antichitate de a se jefui mormintele în perioada imediat următoare înmormântării. În toate cele șase morminte de inhumație cercetate a fost surprinsă această situație, constatată prin dislocarea scheletului sau lipsa în mare parte a acestuia, fie prin observarea unor intervenții de distrugere asupra sarcofagelor, prin spargerea capacelor sau a cărămizilor din pereții acestora, ca urmare a săpării gropilor de jefuire, care nu întotdeauna localizau cu exactitate groapa sepulcrală¹³.

DATE ARHEOLOGICE

Cercetarea suprafeței Sp. I/2016, cu dimensiunile de 12,5 × 13,5 m, compusă din patru carouri cu dimensiunile de 6 × 5,5 m, notate cu A-D, a oferit următoarea stratigrafie generală: 0 – 0,25 (0,30) m – stratul vegetal; 0,25 (0,30) m – 0,70 (0,75) m strat cenușiu-deschis, sporadic cu materiale arheologice aparținând perioadei romane; 0,70 (0,75) m – sterilul arheologic, de culoare gălbuie, nisipos, pe alocuri lutos. Stratul vegetal a fost decapat mecanic.

Caroul (■) D

CX01 (M1) – la ▼0,50 m de la nivelul actual de călcare se conturează un complex de formă regulată – dreptunghiulară, un mormânt de inhumație, observabil în pământul galben nisipos cu umplutura din pământ negru amestecat cu pământ galben cu fragmente de cărămidă și de mortar. Pe profilul de S se surprinde groapa mormântului. La ▼0,80 m (nivel actual de călcare) apare primul rând de cărămidă cu orientarea NV-SE. Pentru cercetarea complexului, s-a extins groapa sarcofagului, pentru a observa construcția și dispunerea exterioară a cărămizilor din acesta (Pl. III/2). Dimensiunile sarcofagului: L ext. 1,49 m, l ext. 0,86 m, L int. 1,06 m, l int. 0,25/0,27 m, se lărgeste spre fundul gropii la 0,42 m. Sarcofagul este construit în mare parte din bucăți de cărămidă refolosite, unele dintre ele păstrând urme de mortar, deasupra fiind depuse două cărămizi întregi care acopereau extremitățile mormântului cu dimensiunea de 40 × 28 cm și grosime de 4 cm. În partea NV, în grundriss, a fost surprinsă groapa mormântului, care a fost realizată în pământ galben nisipos, cu colțurile rotunjite. Sarcofagul este format din patru asize așezate direct pe pământul galben nisipos, liantul folosit fiind pământul. Grosimea asizelor este de 0,20 m, iar în interior se adâncește în pământul galben aproximativ 0,14 m (de la prima asiză în total 0,34 m). Pe fundul gropii în interiorul sarcofagului apare un strat compact de var alb în amestec cu praf de cărămidă cu grosimea între 4–15 cm. Nu au fost descoperite resturi scheletice. La golirea complexului, din umplutură, au fost prelevate câteva mărgelile de dimensiuni reduse, realizate din materiale dure (0,20 m în interiorul sarcofagului). Groapa mormântului a fost realizată în pământul galben nisipos iar cărămizile au fost așezate pe un postament de pământ galben, nisipos de aproximativ 10 cm înălțime. Dimensiunile gropii după demontarea complexului: 1,15 m × 0,42/0,39 m.

CX02 (M2) – la ▼0,50 m de la nivelul actual de călcare se conturează un complex de formă

⁹ Benea, Hica 2004, p. 124.

¹⁰ Wolski 1971, p. 594–595.

¹¹ Ciulavu 2012, p. 151–158.

¹² Ota 2009, p. 23–47.

¹³ Gligor *et alii* 2010, p. 120–136.

rectangulară aproximativ paralel cu CX01 (aceeași orientare), un mormânt de tip sarcofag, realizat din cărămidă. Se conturează în pământul galben nisipos, iar umplutura conține fragmente de cărămidă, mortar, ceramică și resturi osoase umane (Pl. III/1). Pentru surprinderea complexului, a fost extinsă suprafața cercetată. La $\nabla 0,40$ m de la conturare apare prima asiză de cărămidă, iar parte din cărămizi sunt în stare fragmentară, așezate în poziție secundară. Dimensiunile sarcofagului: L ext. 1,64 m, l ext. 0,86 m, L int. 1,22 m, l int. 0,34 m. Numărul de asize este diferit păstrat: șase și cinci asize. Cărămizile sunt de diferite dimensiuni 37×26 cm, 30×40 cm, 40×13 cm cu grosime de 4 cm, legate între ele cu pământ galben. Sarcofagul are fundul realizat din cărămidă cu dimensiuni de 39×27 cm. În interior, construcția funerară se adâncește $\nabla 0,26$ m, iar la exterior $\nabla 0,35$ m (pe pământul galben). În interiorul sarcofagului s-au descoperit oase umane deranjate (fragmente din oase lungi) aflate în stare slabă de conservare. După demontarea complexului se observă că groapa sarcofagului s-a realizat în pământ galben, fiind de formă neregulată cu dimensiunile aproximativ de $1,54 \times 0,75$ m.

CX03 (M5) – după decaparea mecanică, la răzuire, în profil SE, în pământ galben amestecat, se conturează un complex adâncit, o groapă de formă aproximativ circulară, care intră în profil (Pl. II/1), la $\nabla 0,40$ m (de la nivelul actual de călcare). Dimensiunile aproximative sunt de $1 \times 0,42$ m, însă complexul nu a putut fi cercetat în integralitatea lui, deoarece se depășeau limitele suprafeței afectate de proiect. La $\nabla 0,85$ m apare pământul galben, steril din punct de vedere arheologic. În umplutura gropii sunt identificate fragmente de calcar (Pl. II/3), ceramică și fragmente de oase, urme de lemn și două bucăți de metal (Pl. II/2). Nu există urme de arsură sau cărbune.

CX04 (M3) – după decaparea mecanică, la $\nabla 0,40$ m de la nivelul actual de călcare, la răzuire, în pământul galben nisipos se conturează un complex, cu umplutură de pământ galben deschis, de consistență tare, urme de mortar, cărbune și fragmente de cărămidă. La $\nabla 1,80$ m apare sarcofagul, cu orientarea aproximativ VE, realizat din cărămidă, care deasupra păstrează bucăți compacte de mortar, cu fragmente de lemn imprimate în structura acestuia, semn că ar fi putut avea capacul realizat din lemn prins cu mortar (Pl. III/4). În zona mediană a sarcofagului se mai păstrează la partea superioară două cărămizi, prinse și acestea cu mortar. Sarcofagul este edificat din cărămidă, interiorul fiind finisat cu mortar. În interior se află resturile scheletice ale unui individ, așezat în decubitus dorsal, pe partea stângă, cu membrele ușor flexate, mâinile fiind așezate deasupra picioarelor. Deasupra scheletului, la curățarea acestuia, s-a observat un strat de pământ de culoare galben închis, de consistență tare, care acoperea oasele individului cu excepția calotei craniene (dimensiunea scheletului *in situ* este de 0,88 m). Oasele se află într-o stare avansată de degradare, fiind foarte fragile. Dimensiunile sarcofagului: L ext. 2,02 m, l ext. 1,16/0,94 m, L int. 1,41 m, l int. 0,32 m. Cărămizile care alcătuiesc prima asiză sunt de 40×29 cm cu grosimea de 4 cm, următoarele asize (opt la număr) sunt realizate din cărămizi de 40×13 cu grosime de 4 cm. Liantul utilizat este pământul, care are o grosime de 1–2 cm. Interiorul sarcofagului este acoperit cu un strat de mortar (în compoziția acestuia am constatat praf de cărămidă, pietricele și urme de cărbune). După demontarea primei asize, s-a putut observa groapa în care s-a realizat mormântul. Majoritatea cărămizilor identificate în structura sarcofagului sunt întregi. Fundul sarcofagului este realizat din cărămidă de dimensiunile 41×29 cm cu grosimea de 4 cm. După demontarea completă a M3, dimensiunile gropii mormântului sunt $1,79 \times 0,74$ m.

Caroul (■) B

CX08 (M4) – la răzuire, în profilul de S, la $\nabla 0,90$ m (nivelul actual de călcare) se conturează în pământul galben un complex de formă regulată, groapa în care s-a săpat mormântul fiind surprinsă pe profil. Pentru cercetarea sa, se demontează o mare parte a martorului dintre carourile B și D. Complexul are formă regulată, rectangulară. Este un mormânt de tip sarcofag realizat din cărămidă, umplutura complexului este din pământ negru amestecat cu fragmente de cărămidă și oase friabile, răvășite. Sarcofagul este realizat dintr-un singur rând de cărămidă, așezată pe pământ galben steril (Pl. III/3). Groapa a fost realizată în steril și se adâncește 0,30 m de la nivelul cărămizilor. Pe fundul gropii apar sporadic urme de

var, iar la extremitatea NE a sarcofagului sunt prezente oasele lungi și în partea opusă apar fragmente de calotă craniană și oase lungi. Dimensiunile sarcofagului: L ext. 2,25 m, l ext. 1 m, L int. 1,67, l int. 0,40 m. Majoritatea cărămizilor sunt întregi, dar apar și fragmente, au dimensiunile 40 × 28 cm, cu grosimea de 4 cm. Legătura între cărămizi este realizată din pământ.

CX09 (M6) – la răzuire, la ▼ 0,90 de la nivelul actual de călcare, se identifică în pământul galben un complex de formă regulată-dreptunghiulară, cu dimensiunile la conturare de 0,66 × 1,10 m (Pl. II/4). La golire, la ▼ 1,20 m apar fragmente de lemn și cuie de metal (Pl. II/5). La ▼ 1,90 de la conturare se atinge stratul de steril de culoare galben, însă resturile scheletice nu au mai fost identificate, probabil mormântul a fost distrus în totalitate. Umplutura constă din: pământ galben amestecat cu lentile de pământ negru. Resturile osoase umane nu s-au păstrat.

ANALIZA ANTROPOLOGICĂ A RESTURILOR SCHELETICE UMANE

Resturile osoase umane în discuție se prezintă într-o stare de conservare deosebit de fragilă. Au fost clasificate din punctul de vedere al părților anatomice cărora le aparțin și s-a stabilit lateralitatea, utilizând manualele de specialitate¹⁴. Principalele obiective urmărite au fost: stabilirea gradului de conservare și reprezentare, identificarea vârstei și a sexului indivizilor, constatarea potențialelor modificări patologice și a traumelor – existente sau nu pe suprafața osoasă – și înregistrarea trăsăturilor epigenetice. Statura nu a putut fi stabilită pentru nici unul dintre indivizi, deoarece oasele lungi utilizate în metoda de calcul se păstrează fragmentar sau deloc.

Întrucât indivizii în discuție fac parte atât din categoria adulți, cât și non-adulți, metodele de investigație abordate sunt diferite. Pentru categoria *adultus* (indivizi peste vârsta de 20 de ani – *adultus, maturus, senilis*) s-au utilizat metode elaborate în volumul coordonat de către Buikstra și Ubelaker¹⁵, urmărindu-se stabilirea sexului prin observarea morfologiei elementelor scheletale la nivel cranian (configurația crestei nucale, a procesului mastoidian, aspectul glabelei și al marginilor supraorbitare, a protuberanței mentale, etc.) și la nivelul centurii pelviene¹⁶ (forma generală a bazinului, gradul de deschidere a mării incizuri ischiatice, aspectul osului sacral, etc.). Estimarea vârstei la momentul decesului pentru adulți s-a realizat pornind de la observarea modificărilor degenerative, care apar asupra oaselor pelviene (regiunea articulară sacro-iliacă, morfologia simfizei pubiene), craniene (gradul de sinostoza al suturilor craniene), asupra dentiției și a schimbărilor scheletale specifice înaintării în vârstă¹⁷.

Pentru categoria de non-adulți (indivizi care nu au atins pragul vârstei de 20 de ani, anume *infans I, infans II, juvenis*) analiza s-a axat pe elementele dentare pentru stabilirea vârstei la deces, conform lui Ubelaker¹⁸ și AlQahtani *et alii*¹⁹. De asemenea, unde a fost posibil, s-a ținut cont de gradul de concreșterea al epifizelor la diafize și s-au efectuat măsurători²⁰.

DATE ANTROPOLOGICE

M1 (CX01) Individul notat cu M1 este păstrat fragmentar, fragmentele osoase, foarte fragile, fiindu-i afectate de procesele tafonomice și var.

Determinarea antropologică a indicat prezența unui individ non-adult (*infans I*), iar examinarea

¹⁴ Pentru indivizii non-adulți s-a utilizat: Scheuer *et alii* 2000, p. 587; Schaefer *et alii* 2009, p. 384; pentru indivizii adulți s-a utilizat: Brickley, McKinley 2004, p. 63; White *et alii* 2005, p. 464; Bass 2005, p. 366.

¹⁵ Buikstra, Ubelaker 1994, p. 218.

¹⁶ Buikstra, Ubelaker 1994.

¹⁷ Brothwell 1981, p. 208; Lovejoy 1985, p. 45–76; Buikstra, Ubelaker 1994, p. 19–39; Îșcan 2013, p. 517.

¹⁸ Ubelaker 1987, fig. 24, p. 51.

¹⁹ AlQahtani *et alii* 2010, p. 481–490.

²⁰ Schaefer *et alii* 2009, p. 369.

bazată pe dentiția izolată recuperată și analizată conform gradelor de erupție dentară propuse de către Ubelaker²¹ și AlQahtani *et alii*²², a permis stabilirea vârstei la momentul decesului, la aproximativ 1,5 ani.

M2 (CX02) Individul notat cu M2 se păstrează fragmentar. Estimarea vârstei s-a realizat ținând seama de gradul de erupție dentară, metoda indicând un individ cu vârsta la momentul decesului de aproximativ 9,5 ani.

M3 (CX04) este reprezentat de un individ adult, probabil de sex feminin (bazat de configurația procesului mastoidian și a glabelei). Fragmentele recuperate sunt fragile și incomplete.

M4 (CX08) este reprezentat de un individ non-adult, cu vârsta estimată la 12,5 ani. Fragmentele osoase sunt foarte fragile, fragmentare.

Din perspectivă patologică, asupra resturilor osoase atribuite individului M4 se pot consemna o serie de anomalii. Pe suprafața dentiției sunt vizibile defecte liniare, care indică intervale de stres fiziologic prelungite în perioada dezvoltării elementelor dentare, stare cunoscută în literatura de specialitate sub denumirea de hipoplazia smalțului dentar. Mărimea zonelor afectate este corelată direct cu perioada de timp și severitatea tulburărilor etiologice și sunt predispuși dinții ale căror formațiuni de smalț se dezvoltă în acel timp²³. Hipoplazia de smalț este cauzată de o serie de factori din care fac parte anomaliile ereditare, traumele, bolile, nașterile premature sau stresul metabolic de tipul unor deficiențe și carențe nutriționale apărute în odontogeneză²⁴.

Endocranian, pe osul frontal cu precădere (Pl. IV/6), dar și asupra unor fragmente aparținând parietalelor, sunt vizibile schimbări compacte, litice, de tip „capillary impressions”²⁵.

Pe femurul drept, posterior, este vizibilă o formațiune osoasă de aproximativ 116 mm, care se extinde preponderent spre capul femural (absent) (Pl. IV/5). Diafiza fibulei drepte prezintă de asemenea schimbări care indică un proces inflamator. Schimbări sunt notate și asupra zonei inferioare a coastelor, care se prezintă cu porozități pe suprafață. În acest moment al cercetării M4, nu excludem prezența unor afecțiuni de tipul tuberculozei, brucelozei, osteoartropatiei hipertrofice sau meningitei²⁶. Cel mai probabil, un studiu complex va oferi, în viitor, interpretări mai precise asupra acestor leziuni.

M5 (CX03) este reprezentat de un individ adult, posibil de sex masculin cu vârsta – estimată pe baza atriției dentare ca fiind cuprinsă între 17–25 de ani. Starea de conservare este precară, oasele fiind afectate de procesele tafonomice și var. Nu au fost observate urmele unor patologii.

ELEMENTE DE CRONOLOGIE

Cercetarea mormintelor de inhumație depistate în Sp. I/2016 a permis constatarea că mormintele și resturile scheletice au fost deranjate, foarte probabil în momentul jefuirii acestora. Practica este frecventă²⁷, fiind foarte probabil ca jefuirea să se producă în epocă²⁸. În Dacia, după cucerirea romană, se întâlnesc atât morminte de incinerare, cât și morminte de inhumație, dar până la sfârșitul sec. III, când treptat inhumația se generalizează, incinerarea este frecventă, situație asemănătoare cu aceea din alte provincii romane. Potrivit I. Hica, preferința pentru unul sau altul dintre aceste rituri funerare este determi-

²¹ Ubelaker 1987, fig. 71; Buikstra, Ubelaker 1994, p. 51, fig. 24.

²² AlQahtani *et alii* 2010, p. 485, fig. 6.

²³ Hillson, Bond 1997, p. 89; Ritzman *et alii* 2008, p. 348–361.

²⁴ Hillson, Bond 1997, p. 89–92; Langsjoen 1998, p. 405–407; Waldron 2009, p. 244–245; Roberts, Manchester 2010, p. 75.

²⁵ Lewis 2004, p. 90, fig. 4.

²⁶ Lewis 2004, p. 82–97; Waldron 2008, p. 83–117; Hlavenková *et alii* 2015, p. 32–34, table 1; Lewis 2017, p. 155–163.

²⁷ Dragotă, Rustoiu 2003, p. 132.

²⁸ Protase 1974, p. 135.

nată de originea etnică a diferitelor grupuri de coloniști, iar în Antichitatea târzie inhumarea s-a impus în mediul posturban, predominant romanic, în vreme ce în mediul rural, mai conservator, continuă să fie preferată incinerarea²⁹. Coexistența celor două rituri funerare și predominanța ritului incinerării a fost dovedită prin descoperirile arheologice realizate într-o serie de necropole romane din provincia Dacia. Putem concluziona că acest tip de înmormântare este specific epocii romane și se datează în sec. III d.Hr., conform inventarului funerar³⁰ asociat, recuperat din morminte similare.

Pe teritoriul anticului Apulum, morminte de aceeași factură se cunosc de la necropola mare a orașului Apulum – „Podei”³¹, la cimitirul „Apulum II”³², din apropierea șoselei Alba Iulia-Zlatna, precum și de la Apulum II – „Stadion”³³. În acest sens, putem spune că în urma cercetărilor efectuate în necropola mare de la Dealul Furcilor au rezultat o serie de descoperiri care din punct de vedere al metodei de edificare al sarcofagelor coincide cu cele identificate și cercetate în campania 2016. Reamintim astfel cercetarea realizată pe strada Viilor, nr. 64 unde au fost dezvelite 18 morminte din epoca romană dintre care patru de inhumare în sarcofage de cărămidă de formă rectangulară și orientate NNE-SSV/NE-SV, în care doi dintre defuncți au fost tratați cu var³⁴. În cadrul unei alte cercetări din această zonă s-au identificat aspecte care țin de jefuirea mormintelor, în acest caz din cele 22 de morminte, zece au suferit distrugerii cauzate de acest proces³⁵. Aceste gropi de jefuire au fost surprinse în teren în urma unei cercetări ce s-a efectuat tot în necropola mare de pe Dealul Furcilor-*Podei*, acolo observându-se faptul că jefuitorii nu întotdeauna știau locul exact al mormântului, probabil datorită dispariției sau distrugerii edificiului de marcare³⁶.

CONCLUZII

În stadiul actual al cercetărilor, putem afirma că descoperirile din Sp. I/2016 confirmă faptul că ne aflăm în fața unor morminte aparținând necropolei romane de pe Dealul Furcilor-*Podei*. Mormintele în sarcofag din cărămidă, dezvelite și cercetate cu această ocazie, se înscriu în tipologia și problematica cunoscută a arheologiei funerare din Dacia Romană. Zona investigată, prin excavarea și cercetarea suprafeței Sp. I/2016, ne permite o mai bună conturare a limitei vestice a necropolei romane de pe Dealul Furcilor-*Podei*.

Din totalitatea scheletelor analizate, un număr de trei indivizi au fost identificați ca non-adulți (M1, M2, M4) și doi adulți (M3, M6).

Vârsta la momentul decesului este încadrată după cum urmează:

1. pentru indivizii non-adulți: M1 – 1,5 ani; M2 – 9,5 ani; M4 – 12, 5 ani;
2. pentru indivizii adulți: M3 – < 20 de ani; M6 – vârsta estimată între 17–25 de ani.

Metodele de determinare a sexului au evidențiat prezența unui individ de sex feminin (M3) și a unui individ de sex masculin (M5).

Investigarea din perspectivă paleopatologică oferă informații despre starea de sănătate a populațiilor umane din trecut. La fel ca examinarea pentru identificarea vârstei și a sexului, observarea leziunilor pe suprafața osoasă este legată de starea de conservare a scheletului, de tehnica de excavare și de perioada de boală în care individul a suferit, deoarece nu toate afecțiunile lasă urme pe schelet.

²⁹ Sonoc 2006, p. 89–112.

³⁰ Protase 1974, p. 154–157; Moga 1987, p. 166; Dragotă, Rustoiu 2003, p. 132–133; Bărbulescu 2003, p. 58.

³¹ Protase 1974, p. 134; fig. 6/1–5; Moga, Ciugudean 1995, p. 40–41; Ota 2009, p. 23–33; pl. III/5, IV/1–4; Bolog 2017, p. 20–116.

³² Moga 1987, p. 166, fig. 7/1–4.

³³ Inel *et alii* 2002, p. 142–145; Inel 2011, p. 145–160.

³⁴ Moga, Timofan 2009, p. 250–251.

³⁵ Fântâneau *et alii* 2010, p. 222–223.

³⁶ Fântâneau *et alii* 2010, p. 223–225.

Modificările aduse scheletului de către stări de boală apar după un timp îndelungat, ceea ce înseamnă că perioada de suferință a fost una de durată³⁷. Din totalul scheletelor supuse analizei, notă discordantă o face M4, ale cărui modificări osoase s-ar putea încadra într-un areal patologic amplu.

Cercetări osteologice asupra materialului scheletal din necropola romană au mai fost realizate pe un eșantion provenit din cercetarea arheologică din anul 2008, de către Lynsey Toasă³⁸, care analizează un număr de patru indivizi (M9, M11, M17, M19), ce provin din morminte de inhumație, dintre care M9, M17 și M19 au fost identificați ca fiind adulți de sex masculin, iar M9 un adult cu sexul indeterminabil. Cu excepția patologiilor dentare observate pe dentiția scheletului M19, leziuni neobișnuite au fost observate pe craniul individului notat cu M17, o formă de hiperostoză frontală internă, prezentând totodată porozități asupra regiunilor orbitale, *cribra orbitalia*, indice revelator al anemiei, ale unei nutriții deficitare sau al altor boli³⁹.

ABREVIERI BIBLIOGRAFICE

- AlQahtani *et alii* 2010 S. J. AlQahtani, M. P. Hector, H. M. Liversidge, *Brief Communication: The London Atlas of Human Tooth Development and Eruption*, în: *American Journal of physical Anthropology* 142, 2010, p. 481–490.
- Barber *et alii* 1990 B. Barber, D. Bowsler, K. Whittaker, *Recent excavation of a cemetery of Londinium*, în: *Britannia* 21, 1990, p. 1–12.
- Bass 2005 W. Bass, *Human Osteology, A laboratory and field manual*, Missouri Archaeological Society, 2005.
- Bărbulescu 2003 M. Bărbulescu (coord.), *Funeraria dacoromana. Arheologia funerară a Daciei Romane*, Cluj-Napoca, 2003.
- Bolog 2017 A. Bolog, *Necropola romană de la Apulum, Dealul Furcilor – “Podei” (campaniile 2008–2012)*, Cluj-Napoca, 2017.
- Benea, Hica 2004 D. Benea, I. Hica, *„Damnatio memoriae” în arhitectura romană târzie la Dunărea de Jos, Timișoara*, 2004.
- Brickley, McKinley 2004 M. Brickley, J. I. McKinley (eds.), *Guidelines to the Standards for Recording Human Remains, IFA Papers*, nr. 7, BABAO, Institute for Field archaeologist, 2004.
- Brothwell 1981 D. R. Brothwell, *Digging up bones The Excavation, Treatment, and Study of Human Skeletal Remains*, Natural History Museum Publications, Ithaca, 1981.
- Buikstra, Ubelaker 1994 J. E. Buikstra, D. H. Ubelaker (eds.), *Standards for data collection from human skeletal remains, Proceedings of seminar at the field museum for natural history*, în *Arkansas archeological survey research*, 44, Fayetteville, 1994.
- Ciobanu, Rustoiu 2002 R. Ciobanu, G. T. Rustoiu, *Raport preliminar privind săpăturile arheologice de la Alba Iulia-Apulum II-Dealul Furcilor-str. Izvor, f.n.*, în: *Patrimonium Apulense* II, 2002, p. 138–139.
- Ciulavu 2012 Fl. Ciulavu, *Monede romane imperiale descoperite în necropola de la Alba Iulia – „Dealul Furcilor”*, în: *Sargetia*, SN III, 2012, p. 151–158.
- Dragotă, Rustoiu 2003 A. Dragotă, G. T. Rustoiu, *Raport privind cercetările executate pentru descărcarea de sarcină arheologică a terenului din str. Calea Moșilor, F.N. (Obiectiv: complex comercial Profi)*, în: *Patrimonium Apulense* III, 2003, p. 132.
- Fântâneau *et alii* 2010 C. Fântâneau, O. Oarga, A. Bolog, *Alba Iulia punct: str. Dealul Furcilor-Podei, str. Izvorului (proprietatea R.O. Curcă)*, în: *Cronica Cercetărilor Arheologice din România, campania 2009*, Suceava, 2010, p. 222–223.
- Fântâneau *et alii* 2010 C. Fântâneau, O. Oarga, A. Bolog, *Alba Iulia punct: str. Dealul Furcilor-Podei, str. E. Zola, nr. 10 (proprietatea A.C. Pop)*, în: *Cronica Cercetărilor Arheologice din România, campania 2009*, Suceava, 2010, p. 223–225.
- Gligor *et alii* 2005 M. Gligor, P. Mazăre, M. Breazu, *Un mormânt din epoca romană descoperit la Alba Iulia – Dealul Furcilor (str. Izvor, f.n.)*, în: *Annales Universitatis Apulensis, Series Historica* 9/1, 2005, p. 251–261.

³⁷ Roberts, Manchester 2010, p. 7.

³⁸ Toasă 2014, p. 83–96.

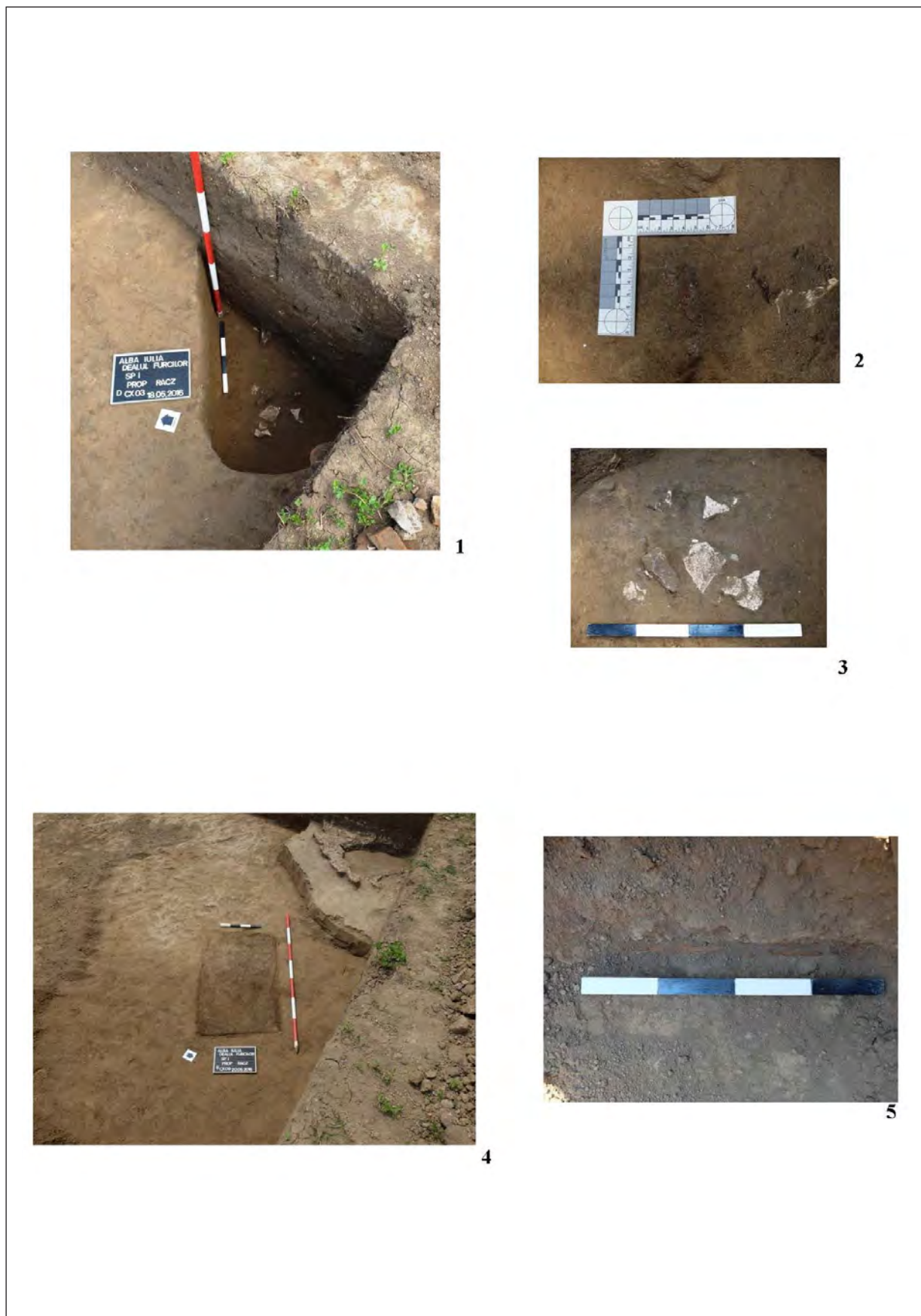
³⁹ Toasă 2014, p. 89.

- Gligor *et alii* 2010 M. Gligor, D. Bogdan, P. Mazăre, Șt. Lipot, G. Balteș, *Morminte romane din necropola de pe Dealul Furcilor de la Apulum*, în: *Terra Sebus* 2, 2010, p. 117–139.
- Grünewald 1990 M. Grünewald, *Der römische Nordfriedhof in Worms: Funde von der Mainzer Strasse*, Worms, 1990.
- Hall 1996 J. Hall, *The cemeteries of Roman London*, în: J. Bird, M. W. C. Hassal, H. Sheldon (eds.) *Interpreting Roman London: papers in memory of Hugh Chapman*, 58, Oxford, 1996, p. 57–84.
- Hillson, Bond 1997 S. Hillson, S. Bond, *Relationship of Enamel Hypoplasia to the Pattern of Tooth Crown Growth: A Discussion*, în: *American Journal of Physical Anthropology* 104, 1997, p. 89–103.
- Hlavenková *et alii* 2015 L. Hlavenková, M. D. Teasdale, O. Gábor, G. Nagy, R. Beňuš, A. Marcsik, R. Pinhasi, T. Hajdu, *Childhood bone tuberculosis from Roman Pécs, Hungary*, în: *HOMO – Journal of Comparative Human Biology*, 66(1), 2015, p. 1–17.
- Inel *et alii* 2002 C. Inel, M. Drămbărean, A. Gligor, A. Dragotă, R. Ciobanu, G. T. Rustoiu, D. O. Dan, *Raport preliminar privind cercetările arheologice de la Alba Iulia-Apulum II-“Stadion“-campania martie-aprilie 2002*, în: *Patrimonium Apulense* II, 2002, p. 142–145.
- Inel 2011 C. Inel, *Tipologia mormintelor romane din necropola de la Apulum “Stadion”*, în: *Apulum* XLIII (2), 2011, p. 145–160.
- İşcan, Steyn 2013 M. Y. İşcan, M. Steyn, *The human skeleton in forensic medicine*, *Forensic Anthropology Research Centre, Department of Anatomy*, University of Pretoria, South Africa, 2013.
- Langsjoen 1998 O. Langsjoen, *Diseases of the dentition*, în: Arthur C. Aufderheide, Conrado Rodríguez-Martín, (eds.), *Cambridge Encyclopedia of Human Paleopathology*, Cambridge University Press, 1998, p. 393–411.
- Lewis 2004 M. Lewis, *Endocranial lesions in non-adult skeletons: Understanding their aethiology*, în: *International Journal of Osteoarchaeology* 14, 2004, p. 82–97.
- Lewis 2017 M. Lewis, *Paleopathology of children: identification of pathological conditions in the human skeletal remains of non-adults*, Academic Press, 2017.
- Lovejoy O. C. Lovejoy, *Dental Wear in the Libben Population: Its Functional Pattern and Role in the Determination of Adult Skeletal Age at Death*, în: *American Journal of Physical Anthropology* 68, 1985, p. 47–56.
- MacDonald 1977 J. MacDonald, *Pagan Religios and Burial Practice in Roman Britain*, în: R. Reece (ed.) *Burial in the Roman world*, în: *CBA Res. Rep.* 22, London, 1977, p. 35–39.
- Moga 1987 V. Moga, *Cercetări arheologice la Apulum*, în: *Apulum* XXIV, 1987, p. 166.
- Moga, Ciugudean 1995 V. Moga, H. Ciugudean, *Repertoriul Arheologic al județului Alba 1995*, în: *Bibliotheca Musei Apulensis* II, 1995, p. 40–41.
- Moga, Timofan 2009 V. Moga, A. Timofan, *Alba Iulia str. Viilor, nr. 64 (Proprietatea Lăncrăjan)*, în: *Cronica Cercetărilor Arheologice din România, campania 2008*, Valahica XXI, Târgoviște, 2009, p. 250–251.
- Ota 2009 R. Ota, *Some observations on the latest archaeological researches carried out in the roman necropolis from Apulum (Alba Iulia) – “Dealul Furcilor – Podei”*, în: *Ephemeris Napocensis* XIX, 2009, p. 23–47.
- Philpott 1991 R. Philpott, *Burial practices in Roman Britain: a survey of grave treatment and furnishing AD 43–410*, *BAR, British Series* 219, Oxford, 1991.
- Protase 1974 D. Protase, *Necropola orașului Apulum. Săpăturile din anii 1970–1971*, în: *Apulum* XII, 1974, p. 134–159.
- Ritzman *et alii* 2008 T. B. Ritzman, B. J. Baker, G. T. Schwartz, *A fine line: a comparison of methods for estimating ages of linear enamel hypoplasia formation*, în: *American Journal of Physical Anthropology* 135(3), 2008, p. 348–361.
- Roberts, Manchester 2010 C. Roberts, K. Manchester, *The archaeology of disease*, The History Press, 2010.
- Schaefer *et alii* 2009 M. Schaefer, S. Black, L. Scheuer, *Juvenile Osteology: A laboratory and field manual*, Academic Press, 2009.
- Scheuer, Black 2000 L. Scheuer, S. Black, *Developmental juvenile Osteology*, Academic Press, 2000.
- Sonoc 2006 Al. Gh. Sonoc, *Observații cu privire la propunerile de clasificare a momintelor din necropolele romane provinciale din Dacia*, 2006, în: *Brukental. Acta Musei* I(1), p. 89–112.
- Toasă 2014 L. Toasă, *An osteological analysis of skeletons from the roman necropolis of Apulum, Alba Iulia Romania*, în: *Buletinul Cercurilor Științifice Studentești* 20, 2014, p. 83–96.
- Ubelaker 1987 D. Ubelaker, *Estimating age at death from immature human skeletons: an overview*, în: *Journal of Forensic Science* 32(5), 1987, p. 1254–1263.

- Waldron 2008 T. Waldron, *Paleopathology. Cambridge Manuals in Archaeology*, Cambridge University Press, 2008.
- White, Folkens 2005 T. White, P. A. Folkens, *The human bone manual*, Academic Press, 2005.



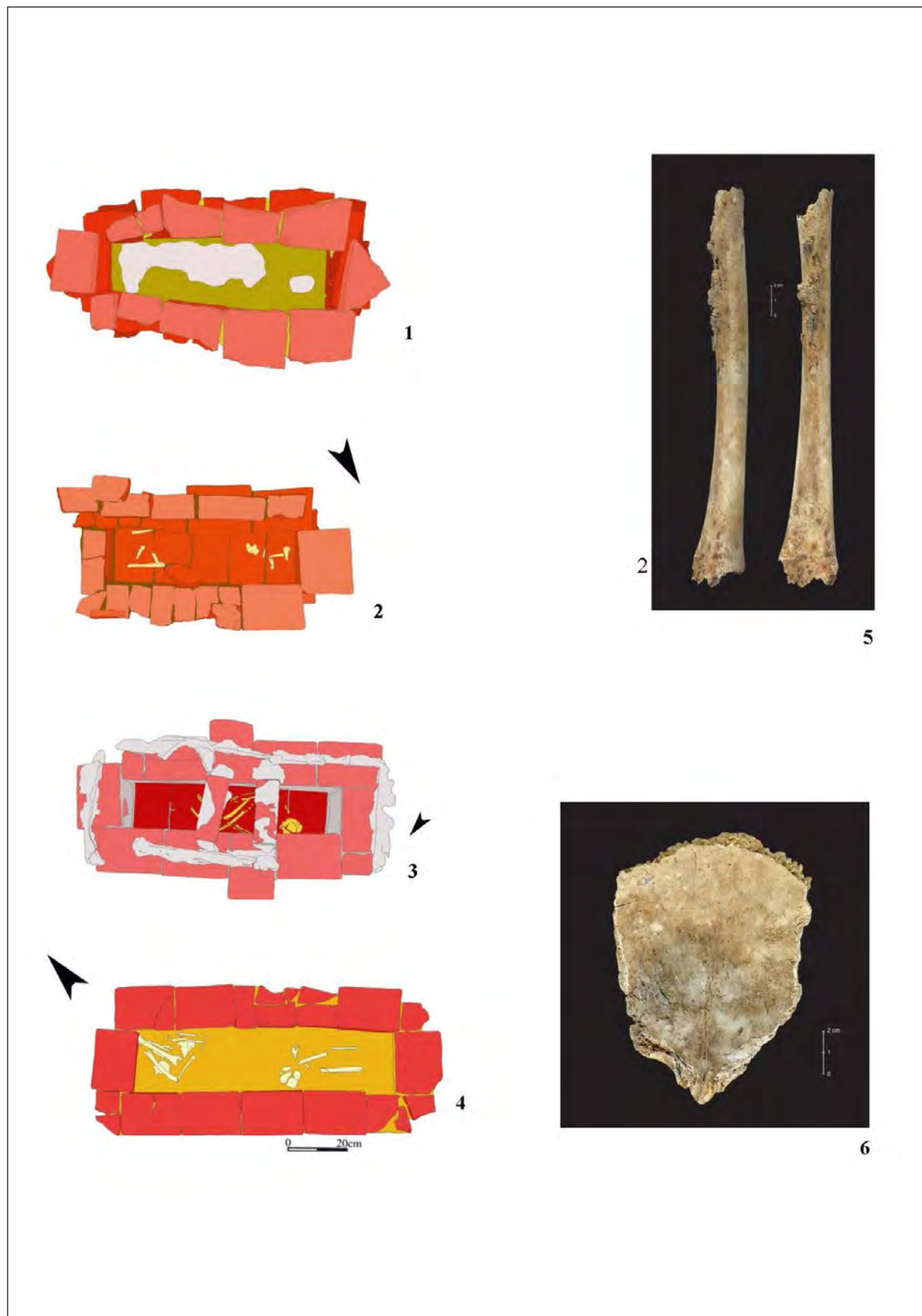
Planșa I. imagine cu localizarea Sp. I/2016, captură satelit Google Earth.



Planșa II. Foto1: imagine cu groapa surprinsă lângă profilul NE [□D CX03 (M5)]; Foto 2: imagine detaliu cu resturi de lemn și os uman [□D CX03 (M5)]; Foto 3: imagine detaliu cu fragmente din piatră de calcar [□D CX03 (M5)]; Foto 4: imagine la conturarea complexului lângă profilul SE [□B CX 09 (M6)]; Foto 5: imagine detaliu rest de scândură de lemn [□B CX09 (M6)].



Planșa III. Foto 1: sarcofagul de cărămidă și resturile scheletice umane descoperite în interiorul sarcofagului [□D CX02 (M2)]; Foto 2: sarcofagul de cărămidă la finalul cercetării, cu var în interior [□D CX01 (M1)]; Foto 3: sarcofagul de cărămidă și dispunerea oaselor umane în interiorul acestuia [□B-D CX 08 (M4)]; Foto 4: imagine cu sarcofagul, urmele de mortar păstrate și scheletul descoperit în interiorul acestuia [□D CX 04 (M3)].



Planșa IV. Foto 1: □D digitizarea CX01 (M1); Foto 2: □D digitizarea CX02 (M2); Foto 3: □D digitizarea CX04 (M3); Foto 4: □D digitizarea CX08 (M4); Foto 5: imagine cu formațiuni periostale (M4); Foto 6: imagine cu acțiuni ale unor procese patologice pe regiunea endocraniană (M4).



Planșa V. □D – fotogrammetrie realizată în timpul cercetării mormintelor CX01 (M1), CX02 (M2) și CX04 (M3) [Călin Șuteu].